

UNIVERSIDAD DE GUANAJUATO  
DIVISIÓN DE CIENCIAS NATURALES Y EXACTAS  
LICENCIATURA EN INGENIERIA QUIMICA



DISEÑO Y SIMULACIÓN DE PROCESOS Y PRODUCTOS

DR. JUAN GABRIEL SEGOVIA HERNÁNDEZ

PROYECTO FINAL

Almendarez Verdín José Israel

Álvarez Cortes Vanessa

Casillas Hernández Andrea Isabel

Celaya Arteaga Xochitl Citlalli

Chacón Martínez Jessica

Chávez Romero Aldonza Stephanie

GUANAJUATO, GTO. A 10 DE JUNIO DEL 2021

## Índice

|   |    |
|---|----|
| Instrucciones del Proyecto final.....             | 3  |
| Background.....                                   | 3  |
| General.....                                      | 3  |
| Report Format.....                                | 3  |
| Deliverables.....                                 | 4  |
| Revisions.....                                    | 4  |
| Appendix.....                                     | 4  |
| Introducción.....                                 | 5  |
| Metodología.....                                  | 5  |
| Elección del modelo termodinámico.....            | 6  |
| Balance de masa.....                              | 6  |
| Método heurístico.....                            | 8  |
| Formación del azeótropo.....                      | 9  |
| Lista de equipos para el proceso.....             | 10 |
| Costos.....                                       | 11 |
| Especificaciones del equipo.....                  | 12 |
| Resumen de alternativas consideradas.....         | 12 |
| Discusión.....                                    | 13 |
| Análisis económico.....                           | 13 |
| Discusión general.....                            | 13 |
| Informe de Aspen Plus V11.....                    | 14 |
| Termodinámica.....                                | 14 |
| Balance general de los materiales del equipo..... | 16 |
| Corrientes.....                                   | 17 |
| Resúmenes de equipos.....                         | 21 |
| Perfiles de torre.....                            | 21 |
| Conclusiones.....                                 | 25 |
| Referencias.....                                  | 26 |

## Proyecto Final

---

### **Instrucciones del Proyecto final**

#### **Background**

A 500 kg/h, 25°C, 1 atm, waste stream has the following composition (mole percent):

- n-pentane. - 75.11 %
- Acetone. - 12.13%
- Ethanol. - 11.34%
- Water. - 1.42%

The goal of this project is to design process to separate all components. It should be designed to recover each component at a higher purity: 99.9%. We should expect heterogeneous behaviour when we see n-pentane, methanol, and water in the same mixture (two liquid phases).

Possible solution alternatives can be based on:

- Regular distillation
- Azeotropic and/or extractive distillation
- Liquid-liquid extraction

#### **General**

The entire process should be optimized using decision variables of your choosing. Decision variables should be chosen as the design variables most strongly affecting the objective function. There are topological optimization and parametric optimization. In topological optimization, which is usually done first, the best process configuration is chosen. Parametric optimization involves varying operating variables and should be done after topological optimization is complete. Some examples of parameters that can be used as decision variables are pressure and conversion; and distillation column reflux ratio.

#### **Report Format**

The written report is a very important part of the assignment. Poorly written and/or organized written reports may require re-writing. Be sure to follow the format outlined in the guidelines for written reports.

The following information, at a minimum, must appear in the main body of the final report:

1. a WORD file for the recommended optimum case,

2. a stream table containing the usual items,
3. a list of equipment for the process, costs, plus equipment specifications (presented with a reasonable number of significant figures),
4. a summary table of all utilities used,
5. a clear summary of alternatives considered and a discussion, supported with figures, of why the chosen alternative is superior,
6. a clear economic analysis which justifies the recommended case
7. a discussion section pertinent to each class plus a general discussion section for optimization of the entire process
8. a Aspen Plus report for your optimized case (in the Appendix). This must contain the equipment connectivity, thermodynamics, and overall material balance cover pages; stream flows; equipment summaries; tower profiles. It should not contain stream properties. Missing Aspen Plus information will not be requested; credit will be deducted as if the information is missing.

### **Deliverables**

Each group must deliver a report. Each team will give an oral report in which the results of this project will be presented in a concise manner. The oral report should be between 15-20 minutes, and each group member must speak once. Reports exceeding this time limit will be stopped. A 5-10-minute question-and-answer session will follow.

### **Revisions**

As with any open-ended problem (*i.e.*, a problem with no single correct answer), the problem statement above is deliberately vague. The possibility exists that, as you work on this problem, your questions will require revisions and/or clarifications of the problem statement. In this case is impossible that two or more teams have similar answers to the problem.

### **Appendix**

Energy prices: electricity 41 EUR/MWh, steam (saturated, 10 bar abs.) 17 EUR/ton, cooling water 0,04 EUR/m<sup>3</sup> at 20 °C. The plant is expected to operate 8000 h/yr.



## **Introducción**

La separación de mezclas azeotrópicas es muy común en la industria química, los procesos utilizados para esto son la destilación convencional, destilación extractiva y extracción líquido líquido. Una mezcla azeotrópica es la que presenta uno o más azeótropos y en donde no es posible separar sus componentes por medio de una destilación simple. Un azeótropo existe cuando la composición en la fase líquida resulta ser la misma que en la fase de vapor, presentándose una limitación en la separación que se quiere lograr.

El desarrollo de alternativas de separación de mezclas azeotrópicas implica un análisis profundo del fenómeno del equilibrio entre vapor y líquido dentro de las sustancias del azeótropo y de las no idealidades que se dan en ese tipo de mezclas. Si no hay diferencia de composiciones entre la fase líquida y la fase vapor, no existe la transferencia de materia entre plato y plato, por lo que no existe separación de componentes. Para lograr la separación, es necesario modificar las condiciones de operación de la columna de destilación o emplear un agente de separación, aunque a esto ya sería una destilación extractiva, el agente extractivo o extractante modifica la volatilidad relativa de los componentes o forma un azeótropo con uno de los componentes de la mezcla para así arrastrarlo completamente a alguna de las salidas y realizar la separación efectiva con el otro componente a obtener.

La destilación azeotrópica por cambios de presión causa el desplazamiento del azeótropo modificando suficientemente la presión para romperlo o alejarlo de la región en la que se desea llevar a cabo la separación, en caso de que el azeótropo no sea sensible a cambios de presión, se debe recurrir a introducir un agente extractante.

## **Metodología**

Lo primero que se realizó fue ingresar los componentes en Aspen ®, como se ve en la figura 1, con la finalidad de obtener las  $k$  de equilibrio y calcular la volatilidad relativa de cada uno de los compuestos.

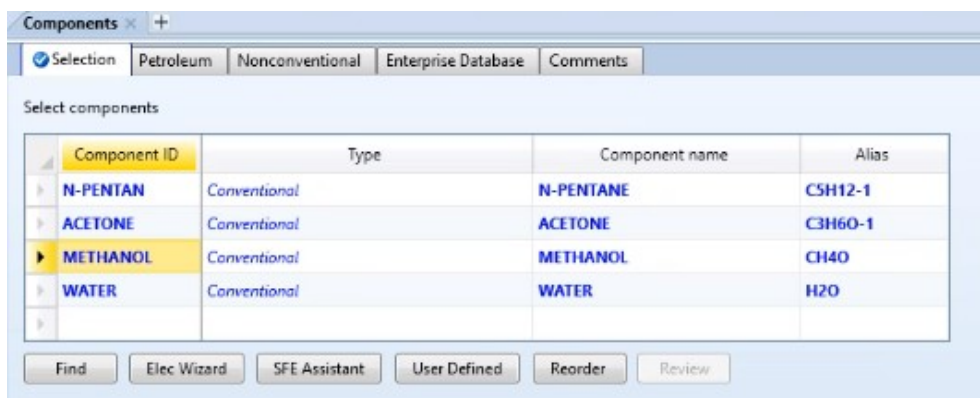


figura 1 Ingreso de los componentes en Aspen ®. Fuente: Elaboración propia, (2021).

## Elección del modelo termodinámico

La mezcla que se estará separando está compuesta de metanol, agua, n-pentano y acetona. El primer par de componentes (metanol-agua) son compuestos polares.

Para el segundo par (n-pentano y acetona) partiendo de datos experimentales a tres diferentes temperaturas, utilizando la estimación de parámetros y datos críticos. Demuestran que este sistema tiene una línea crítica continua entre los dos componentes puros con un mínimo de temperatura y este comportamiento se predice correctamente por la ecuación de estado. Lo cual nos dice que el modelo termodinámico adecuado es el NRTL.

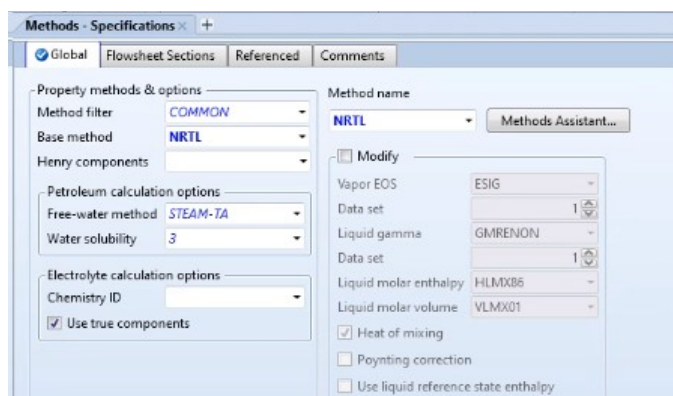


Figura 2 Selección del modelo termodinámico CHAO-SEADER. Fuente: Elaboración propia, (2021).

## Balance de masa

Se procede a realizar el balance de masa de cada uno de los componentes para poder ingresarlos en Aspen ®. El problema nos da un flujo de 500 kg/h, por lo que se debe pasar a kmol/h.

Tabla 1 Condesado de los componentes

| Componen | Peso molecular | % fracción |
|----------|----------------|------------|
|----------|----------------|------------|

## Proyecto Final de Diseño y Simulación de Procesos

| <i>te</i>        | <i>[kg/mol]</i> | <i>mol</i> |
|------------------|-----------------|------------|
| <i>n-Pentane</i> | 72.15           | 75.11      |
| <i>Acetone</i>   | 50.08           | 12.13      |
| <i>Methanol</i>  | 32.04           | 11.34      |
| <i>Water</i>     | 18.015          | 1.42       |

Fuente: Elaboración propia, (2021).

Ejemplificación del componente pentano:

$$\frac{(75.11\%)(500 \frac{kg}{h})}{(100\%)} = 375.55 \text{ kg/h}$$

$$\left| \frac{375.55 \text{ kg}}{1 \text{ h}} \right| \left| \frac{1 \text{ kg-mol}}{72.15 \text{ kg}} \right| = 5.2 \text{ kmol/h}$$

Realizando los cálculos de la metodología anterior, en la siguiente tabla se pueden observar los resultados del balance de masa.

*Tabla 2 condensado de compuestos y su flujo molar en Kmol/h*

| <i>Compone<br/>nte</i> | <i>Flujo en<br/>[kmol/h]</i> |
|------------------------|------------------------------|
| <i>n-Pentane</i>       | 5.2                          |
| <i>Acetone</i>         | 1.21                         |
| <i>Methanol</i>        | 2.22                         |
| <i>Water</i>           | 0.39                         |
| <i>Total:</i>          | 9.02                         |

Fuente: Elaboración propia, (2021).

Por lo que el flujo de entrada de nuestros componentes es de 9.02 kmol/h, de acuerdo con la tabla anterior.

En la siguiente figura, se puede visualizar las condiciones de operación que el enunciado nos indica, se calcularon los flujos a través del balance de masa anterior partiendo de los datos que nos menciona el enunciado.



## Proyecto Final de Diseño y Simulación de Procesos

Figura 3 Condiciones de operación. Fuente: Elaboración propia, (2021).

Para el cálculo de las volatilidades relativas de cada compuesto, se utiliza la siguiente formula, utilizando las k proporcionadas por el programa de ASPEN ®:

$$\alpha = k_{ij}$$

A partir de las constantes de equilibrio, en la siguiente tabla se muestran las volatilidades relativas de cada componente.

| Component | F      | X      | Y         | K        |
|-----------|--------|--------|-----------|----------|
| N-PENTAN  | 0.7511 | 0.7511 | 0.766998  | 0.823123 |
| ACETONE   | 0.1213 | 0.1213 | 0.103388  | 0.687034 |
| METHANOL  | 0.1134 | 0.1134 | 0.102336  | 0.727418 |
| WATER     | 0.0142 | 0.0142 | 0.0272782 | 1.54844  |

Figura 4 Constantes de equilibrio. Fuente: Elaboración propia, (2021).

Se calculan las volatilidades relativas de cada componente. Los resultados se pueden visualizar en la siguiente tabla, es importante mencionar que las volatilidades ya se encuentran ordenadas de forma decreciente.

Tabla 3 Condensado de compuestos K y volatilidad relativa

| Compuesto | K           | Volatilidad relativa |
|-----------|-------------|----------------------|
| WATER     | 1.5484425   | 2.253807961          |
| N-PENTAN  | 0.823122531 | 1.198081371          |
| METHANOL  | 0.727417639 | 1.04779816           |
| ACETONE   | 0.687033912 | 1                    |

Fuente: Elaboración propia, (2021).

Para facilitar la selección de las reglas heurísticas, a continuación, se puede observar una tabla a forma de condensado con la volatilidad relativa y el flujo de alimentación de cada componente. A cada uno de los componentes se les asignó una letra para facilitar la visualización de los cortes.

Tabla 4 Condensado de los componentes.

| <b>Letra asignada</b> | <b>Compuesto</b> | <b>Volatilidad relativa</b> | <b>Flujo de alimentación en kmol/hr</b> |
|-----------------------|------------------|-----------------------------|---|
| A                     | WATER            | 2.253807961                 | 5.2                                     |
| B                     | N-PENTAN         | 1.198081371                 | 1.21                                    |
| C                     | METHANOL         | 1.04779816                  | 2.22                                    |
| D                     | ACETONE          | 1                           | 0.39                                    |

Fuente: Elaboración propia, (2021).

### Método heurístico

Después, se procede a calcular la volatilidad de acuerdo con cada uno de los pares adyacentes, como se muestra en la tabla 3, para ello se utiliza la fórmula de la volatilidad del par adyacente

$$\alpha_{ij} = \frac{\alpha_i}{\alpha_j}$$

Tabla 5 Volatilidad relativa de cada par adyacente.

| <b>Par adyacente</b>  | <b>Volatilidad del par adyacente</b> |
|-----------------------|--------------------------------------|
| <b>A (WATER)</b>      | 1.881181041                          |
| <b>B (N-PENTHANE)</b> |                                      |
| <b>B (N-PENTHANE)</b> | 1.881181041                          |
| <b>C (METHANOL)</b>   |                                      |
| <b>C (METHANOL)</b>   | 1.04779816                           |
| <b>D (ACETONE)</b>    |                                      |

Fuente: Elaboración propia, (2021).

De acuerdo con la tabla anterior, y una vez que se rectificaron los parámetros de interacción binaria, se puede observar que la volatilidad del par adyacente metanol/acetona es igual a 1.04, por lo que requerimos un método diferente a la destilación ordinaria para separar estos compuestos. Este método será por destilación extractiva.

## Formación del azeótropo

Para comprobar los cálculos anteriores se sacó la gráfica de formación del azeótropo ya que como se sabe este hierve a una temperatura constante y tiene el comportamiento como si fuera un solo componente dando que la fase de vapor tendrá la misma composición que la fase líquida.

Así pues, que en la siguiente grafica de metanol-acetona se puede observar que la formación del azeótropo se da a los 25° C tal como se tiene en las especificaciones iniciales, por lo tanto, está correcto.

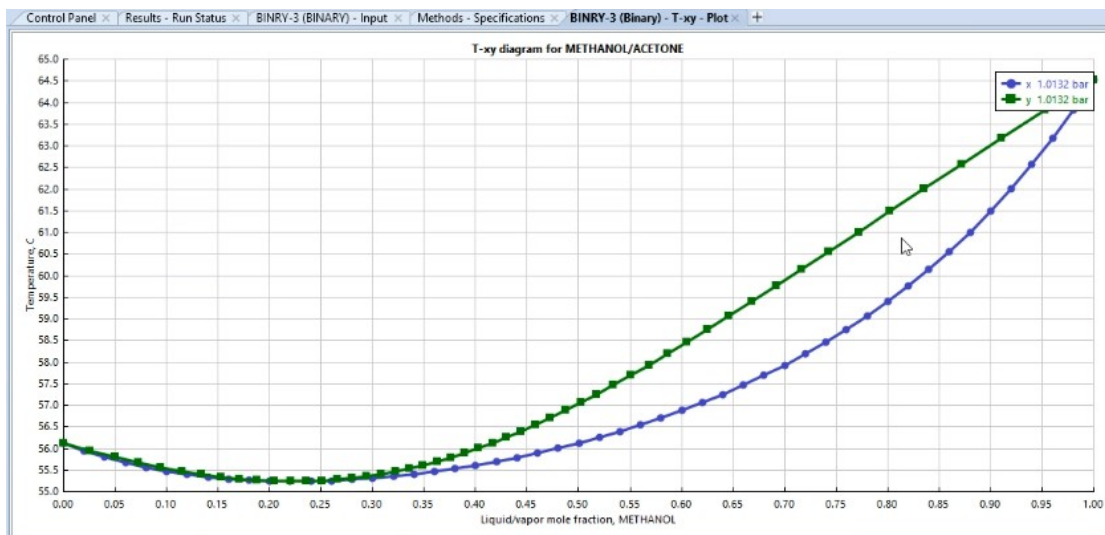


Figura 5 Formación del azeótropo en Metanol-Acetona. Fuente: Elaboración Propia (2021).

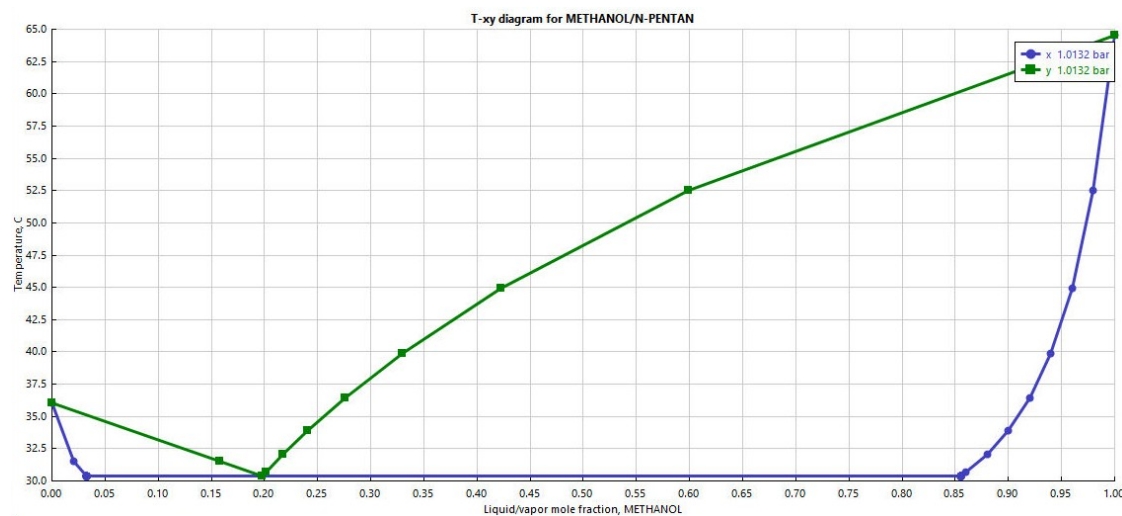


Figura 6 Formación del azeótropo en Metanol-N-Pentano. Fuente: Elaboración Propia (2021).

Proyecto Final de Diseño y Simulación de Procesos

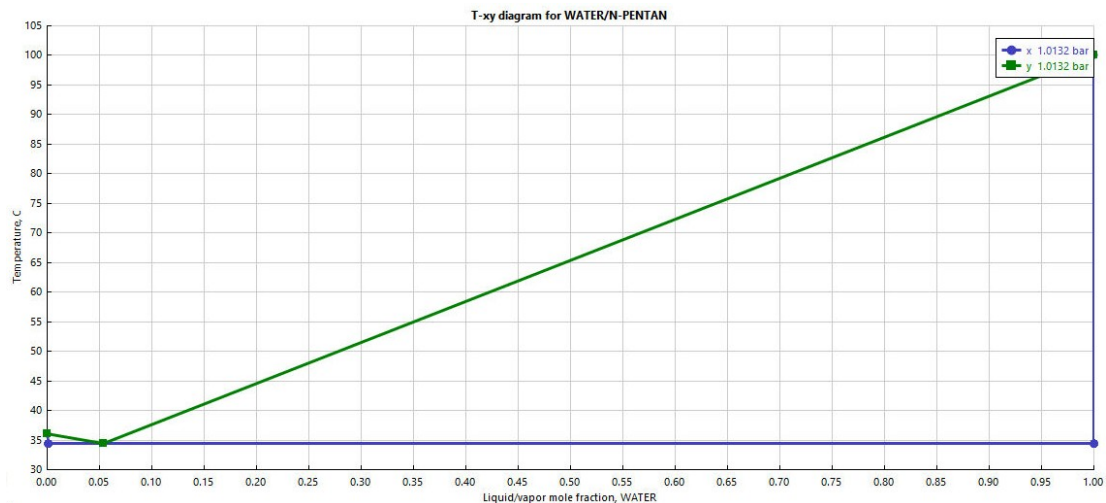


Figura 7 Formación del azeótropo en Agua-N-Pentano. Fuente: Elaboración Propia (2021).

Lista de equipos para el proceso

Tabla 6 Equipamento

| Equipo                               | Esquema |
|--------------------------------------|---------|
| Columna Extractiva (líquido-líquido) |         |
| Columna destilación B2               |         |
| Columna destilación B5               |         |
| Columna destilación Extractiva       |         |
| Columna de destilación B6            |         |

Fuente: Elaboración Propia (2021).

Costos

Para los costos se utilizaron los siguientes datos que se nos fueron otorgados:

## Proyecto Final de Diseño y Simulación de Procesos

- Energy prices:
  - o electricity 41 EUR/MWh
  - o steam (saturated, 10 bar abs.) 17 EUR/ton
  - o cooling water 0,04 EUR/m<sup>3</sup> at 20 °C.
  - o The plant is expected to operate 8000 h/yr.

| Costos anuales                 |                             |                                |                               |                    |
|--------------------------------|-----------------------------|--------------------------------|-------------------------------|--------------------|
| <b>Equipo</b>                  | <b>Costo de equipo (\$)</b> | <b>Costo de servicios (\$)</b> | <b>Costo de solvente (\$)</b> | <b>Costo total</b> |
| Columna extractiva (líq-líq)   | \$ 12,697.98                | -                              | \$ 23.34                      | \$ 12,721.32       |
| Columna Destilación B2         | \$ 272,332.52               | \$ 16,199.87                   | -                             | \$ 288,532.38      |
| Columna Destilación B5         | \$ 256,535.93               | \$ 28,785.69                   | -                             | \$ 285,321.63      |
| Columna destilación extractiva | \$ 86,609.22                | -                              | \$ 30.68                      | \$ 86,639.9        |
| Columna Destilación B4         | \$ 207,174.95               | \$ 58,371.53                   | -                             | \$ 265,546.48      |

## Especificaciones del equipo

*Tabla 7 Especificaciones del equipamiento*

| <b>Equipo</b>                               | <b>Especificaciones</b>  |
|---|--|
| <b>Columna Extractiva (líquido-líquido)</b> | 8 Etapas/ $T=25^{\circ}\text{C}/P=1$ atm   |
| <b>Columna destilación B2</b>               | 20 Etapas/Diámetro Plato 0.3644m/<br>$T=32^{\circ}\text{C}/P=1$ atm<br>Plato entrada 10/<br>Carga Reboiler 132.25 kW                     |
| <b>Columna destilación B5</b>               | 11 Etapas/0.3443m/<br>$T=29.2^{\circ}\text{C}/$<br>$P=1$ atm/Plato entrada 6<br>Carga Reboiler 235.21 kW                                 |
| <b>Columna destilación Extractiva</b>       | 45 Etapas/ 0.4419m/<br>$T=44.52^{\circ}\text{C}/P=1$ atm/<br>Plato entrada: Solvente en 3 y Corrientes en 21<br>Carga Reboiler 316.87 kW |
| <b>Columna de destilación B6</b>            | 12 Etapas/0.4794m/<br>$T=76^{\circ}\text{C}/P=1$ atm/<br>Plato entrada: 8<br>Carga Reboiler 476.89 kW                                    |

*Fuente: Elaboración Propia (2021).*

## Resumen de alternativas consideradas

Otra de nuestras alternativas de solución fueron los diversos sistemas que consideramos:

1) La utilización de procesos de separación mecánica para posteriormente combinarla con métodos de separación por equilibrio químico.

Buscamos realizar la separación de una fase acuosa y fase orgánica a través de un decantador para posteriormente realizar una destilación convencional a la corriente de orgánicos lograr así extraer el n-pentano y con una destilación extractiva separar el azeótropo compuesto por acetona-metanol. Dicha solución no se logró llevar a cabo debido a que la corriente acuosa arrastraba grandes cantidades de orgánicos cuando se colocó el sistema de separación mecánica.

2) Después de realizar el análisis de las volatilidades para cada uno de los compuestos a trabajar, observamos que se pueden realizar las separaciones por destilación convencional. Pero al tratar de realizarlo por una destilación convencional y lograr separar en 2 mezclas metanol/acetona y agua/n-pentano y separar dichas mezclas por medio de destilaciones extractivas descubrimos que esta metodología tampoco se pudo realizar debido a que Aspen® nos indicaba que la columna inicial se tenía menos de 1 etapa debido a que era muy fácil separar dichos componentes, ya que se encontraban muy alejados uno de otro es decir uno era muy ligero y el otro muy pesado es por eso que proseguimos

### **Discusión**

Otros de las alternativas consideradas para la resolución del problema fue la utilización de diversos solventes para realizar las extracciones, principalmente la del sistema de la columna de destilación extractiva, entre las opciones consideradas tenemos los n-alcanos (n-decano, n-undecano y n-dodecano) compuestos que fueron descartados a falta de información de sus propiedades en la literatura.

Otro de los agentes considerado fue el 1-Ethyl-3-methylimidazolium trifluoromethanesulfonate el cual fue descartado también debido a que Aspen® no tenía todos sus parámetros en la base de datos además de que al tratarse de un compuesto iónico podía generar más problemáticas en la simulación del proceso y hasta causar el cambio de modelo termodinámico.

La principal razón por la cual se decidió la utilización de agua como nuestro agente extractante fue a que es muy económica, debido a que la mezcla inicial también contenía este componente ya está considerada su interacción en el modelo termodinámico seleccionado y por último es un compuesto que hace el proceso verde.

### **Análisis económico**

De acuerdo a los costos anteriormente calculados, se percató de que el usar agua como un solvente, ayuda a tener un ahorro económico significativo, a comparación de otros solventes con algunas propiedades con mucha más selectividad o específicas.

Para este tren de simulaciones el costo total anual (servicios +equipos +solventes) es de \$938,761.71, lo cual nos indica que es un costo bueno de acuerdo con los parámetros establecidos para la simulación.

### **Discusión general**

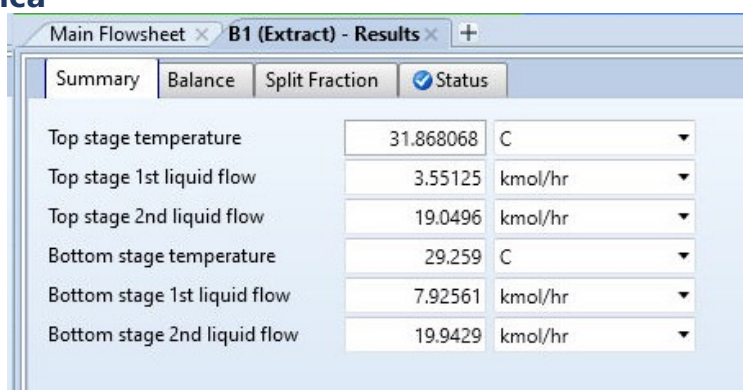
Realizando un análisis exhaustivo sobre los posibles cortes de las mezclas y resolver las problemáticas que se presentaban al intentar separarlas, se tuvo que ver las volatilidades, propiedades y parámetros brindados por Aspen para la elección del modelo termodinámico (NRTL). Una vez realizado lo anterior, se inició la simulación de las mezclas cuando presentaban comportamiento azeotrópico entre el metanol y la acetona, así mismo, se investigó sobre los posibles agentes extractantes para conseguir la separación.

Además, se tuvo que considerar las purezas que debíamos conseguir en cada columna de destilación, ya fuese extractiva o convencional. Al mismo tiempo, se presentaron incalculables errores de convergencia en el software. Se intentó modificar los reflujos, las cargas térmicas, las velocidades del destilado, etc., sin conseguir aumentos significativos.

Como soluciones a estas problemáticas, encontramos que se puede utilizar una columna de extracción al iniciar el proceso de separación, puesto que podríamos obtener directamente una gran cantidad del n-pentano (cerca del 92%), evitando así posteriores problemas. El agente extractante es el agua, por lo que se añade una cantidad suficiente. La parte extraída se introdujo en una columna convencional y se obtuvo la pureza requerida de n-pentano.

Por otra parte, encontramos que para el azeótropo metanol-acetona puede utilizarse nuevamente agua como extractante; por lo tanto, los fondos del extractor líq-líq se llevaron a una columna convencional y posteriormente, a la columna extractiva para conseguir romper el azeótropo y obtener en el domo la acetona y por la parte de los fondos, una mezcla de metanol y agua, que finalmente se puede separar con alta pureza en otra columna convencional.

### Informe de Aspen Plus V11 Termodinámica



| Main Flowsheet x B1 (Extract) - Results x + |           |         |
|---|-----------|---------|
| Summary Balance Split Fraction Status       |           |         |
| Top stage temperature                       | 31.868068 | C       |
| Top stage 1st liquid flow                   | 3.55125   | kmol/hr |
| Top stage 2nd liquid flow                   | 19.0496   | kmol/hr |
| Bottom stage temperature                    | 29.259    | C       |
| Bottom stage 1st liquid flow                | 7.92561   | kmol/hr |
| Bottom stage 2nd liquid flow                | 19.9429   | kmol/hr |

Figura 8 Datos termodinámicos de columna B1, (extracción líquido-líquido)



## Proyecto Final de Diseño y Simulación de Procesos

Main Flowsheet × B2 (RadFrac) - Results × +

Summary Balance Split Fraction Reboiler Utilities Stage Utilities Status

Basis Mole

Condenser / Top stage performance

| Name                    | Value    | Units |
|-------------------------|----------|-------|
| ▶ Temperature           | 31.9465  | C     |
| ▶ Subcooled temperature |          |       |
| ▶ Heat duty             | -131.053 | kW    |

Reboiler / Bottom stage performance

| Name           | Value   | Units   |
|----------------|---------|---------|
| ▶ Temperature  | 35.9989 | C       |
| ▶ Heat duty    | 132.257 | kW      |
| ▶ Bottoms rate | 12.8364 | kmol/hr |

Figura 9 Datos termodinámicos de columna B2, (separación de pentano).

Main Flowsheet × B5 (RadFrac) - Results × +

Summary Balance Split Fraction Reboiler Utilities Stage Utilities Status

Basis Mole

Condenser / Top stage performance

| Name                    | Value    | Units |
|-------------------------|----------|-------|
| ▶ Temperature           | 44.5422  | C     |
| ▶ Subcooled temperature |          |       |
| ▶ Heat duty             | -225.536 | kW    |

Reboiler / Bottom stage performance

| Name           | Value   | Units   |
|----------------|---------|---------|
| ▶ Temperature  | 88.918  | C       |
| ▶ Heat duty    | 235.219 | kW      |
| ▶ Bottoms rate | 3.92561 | kmol/hr |

Figura 10 Datos termodinámicos de columna B5, (columna convencional).

Main Flowsheet × DE (RadFrac) - Results × +

Summary Balance Split Fraction Reboiler Utilities Stage Utilities Status

Basis Mole

Condenser / Top stage performance

| Name                    | Value    | Units |
|-------------------------|----------|-------|
| ▶ Temperature           | 41.4808  | C     |
| ▶ Subcooled temperature |          |       |
| ▶ Heat duty             | -314.543 | kW    |

Reboiler / Bottom stage performance

| Name           | Value   | Units   |
|----------------|---------|---------|
| ▶ Temperature  | 76.6012 | C       |
| ▶ Heat duty    | 316.876 | kW      |
| ▶ Bottoms rate | 6.5598  | kmol/hr |

Figura 11 Datos termodinámicos de columna DE, (columna extractiva).

# Proyecto Final de Diseño y Simulación de Procesos

Figure 12 displays the thermodynamic data for column B6 (conventional). The interface shows the following data:

| Condenser / Top stage performance |          |       |
|-----------------------------------|----------|-------|
| Name                              | Value    | Units |
| Temperature                       | 64.5486  | C     |
| Subcooled temperature             |          |       |
| Heat duty                         | -474.557 | kW    |

| Reboiler / Bottom stage performance |         |         |
|-------------------------------------|---------|---------|
| Name                                | Value   | Units   |
| Temperature                         | 99.8228 | C       |
| Heat duty                           | 476.895 | kW      |
| Bottoms rate                        | 4.2398  | kmol/hr |

Figura 12 Datos termodinámicos de columna B6, (columna convencional).

## Balance general de los materiales del equipo

Figure 13 displays the material balance data for column B1 (liquid-liquid extraction). The interface shows the following data:

| Total    | Units   | In      | Out     | Relative difference |
|----------|---------|---------|---------|---------------------|
| Mole     | kmol/hr | 26.9752 | 26.9752 | -1.31703e-16        |
| Mass     | kg/hr   | 1601.39 | 1601.39 | -1.41986e-16        |
| Enthalpy | cal/sec | -360348 | -360352 | 1.11925e-05         |

Figura 13 Datos del balance de columna B1, (extracción líquido-líquido).

Figure 14 displays the material balance data for column B2 (separation of pentane). The interface shows the following data:

| Total    | Units   | In       | Out      | Relative difference |
|----------|---------|----------|----------|---------------------|
| Mole     | kmol/hr | 19.0496  | 19.0496  | -1.86498e-16        |
| Mass     | kg/hr   | 1352.39  | 1352.39  | 2.23926e-10         |
| Enthalpy | kW      | -935.288 | -934.084 | -0.00128758         |

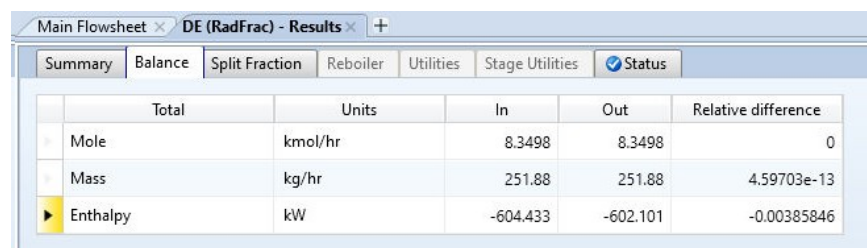
Figura 14 Datos del balance de columna B2, (separación de pentano).

Figure 15 displays the material balance data for column B5 (conventional). The interface shows the following data:

| Total    | Units   | In       | Out     | Relative difference |
|----------|---------|----------|---------|---------------------|
| Mole     | kmol/hr | 7.92561  | 7.92561 | 0                   |
| Mass     | kg/hr   | 248.995  | 248.995 | -2.38222e-13        |
| Enthalpy | kW      | -573.433 | -563.75 | -0.0168864          |

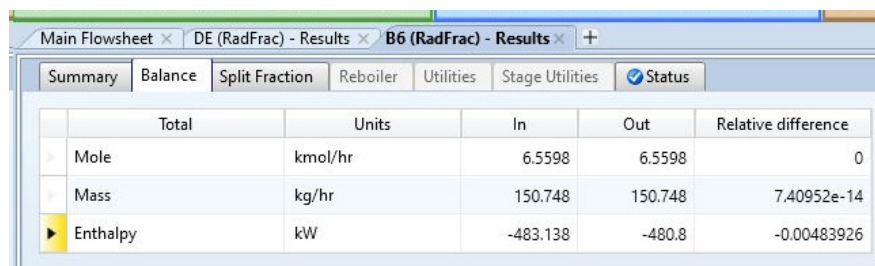
Figura 15 Datos del balance de columna B5, (columna convencional).

## Proyecto Final de Diseño y Simulación de Procesos



| Total    | Units   | In       | Out      | Relative difference |
|----------|---------|----------|----------|---------------------|
| Mole     | kmol/hr | 8.3498   | 8.3498   | 0                   |
| Mass     | kg/hr   | 251.88   | 251.88   | 4.59703e-13         |
| Enthalpy | kW      | -604.433 | -602.101 | -0.00385846         |

Figura 16 Datos del balance de columna DE, (columna extractiva).



| Total    | Units   | In       | Out     | Relative difference |
|----------|---------|----------|---------|---------------------|
| Mole     | kmol/hr | 6.5598   | 6.5598  | 0                   |
| Mass     | kg/hr   | 150.748  | 150.748 | 7.40952e-14         |
| Enthalpy | kW      | -483.138 | -480.8  | -0.00483926         |

Figura 17 Datos del balance de columna B6, (columna convencional).

Corrientes

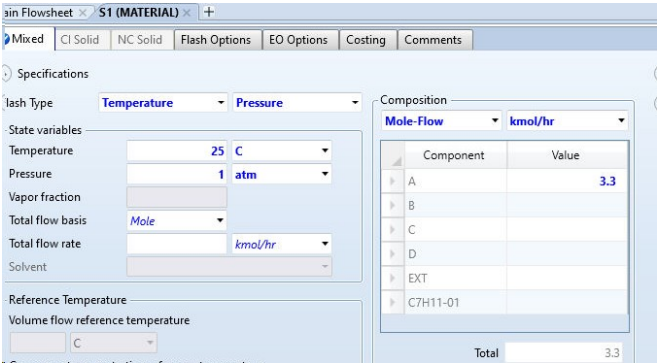


Figura 18 Datos de corriente S1.

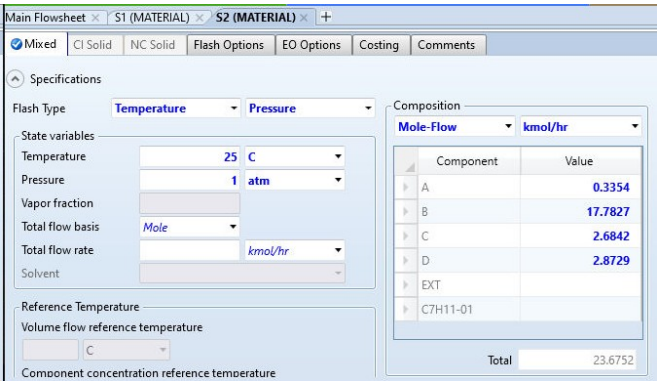


Figura 19 Datos de corriente S2.

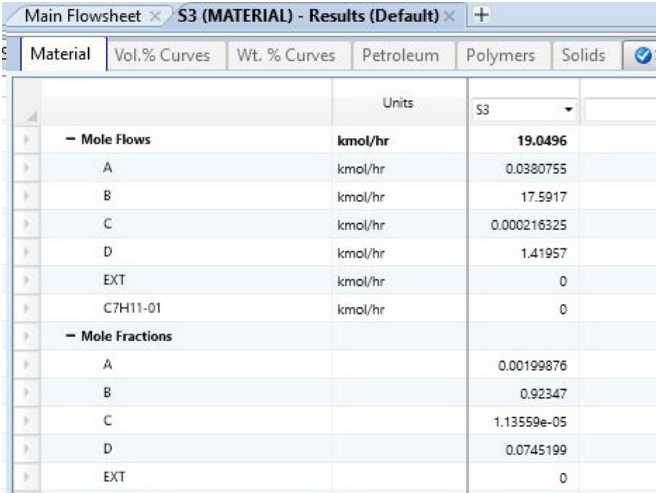


Figura 20 Datos de corriente S3.

# Proyecto Final de Diseño y Simulación de Procesos

| Main Flowsheet × S5 (MATERIAL) - Results (Default) × S4 (MATERIAL) - Results (Default) |               |              |           |          |
|--|---------------|--------------|-----------|----------|
| Material   | Vol. % Curves | Wt. % Curves | Petroleum | Polymers |
| Units  |               |              |           |          |
| → Mole Flows   |               |              | S4        |          |
| A  |               |              | 7.92561   |          |
| B  |               |              | 3.59732   |          |
| C  |               |              | 0.190972  |          |
| D  |               |              | 2.68398   |          |
| EXT  |               |              | 1.45333   |          |
| C7H11-01   |               |              | 0         |          |
| → Mole Fractions   |               |              |           |          |
| A  |               |              | 0.453886  |          |
| B  |               |              | 0.0240956 |          |
| C  |               |              | 0.338647  |          |
| D  |               |              | 0.183371  |          |
| EXT  |               |              | 0         |          |

Figura 21 Datos corriente S4.

| Main Flowsheet × S5 (MATERIAL) - Results (Default) × + |               |              |             |          |
|--|---------------|--------------|-------------|----------|
| Material   | Vol. % Curves | Wt. % Curves | Petroleum   | Polymers |
| Units  |               |              |             |          |
| → Mole Flows   |               |              | S5          |          |
| A  |               |              | 6.21271     |          |
| B  |               |              | 0.0380755   |          |
| C  |               |              | 4.76768     |          |
| D  |               |              | 0.000216325 |          |
| EXT  |               |              | 1.40674     |          |
| C7H11-01   |               |              | 0           |          |
| → Mole Fractions                                       |               |              |             |          |
| A  |               |              | 0.00612865  |          |
| B  |               |              | 0.767408    |          |
| C  |               |              | 3.48198e-05 |          |
| D  |               |              | 0.226429    |          |
| EXT  |               |              | 0           |          |

Figura 22 Datos corriente S5.

| Main Flowsheet × PENTANO (MATERIAL) - Results (Default) × + |               |              |             |          |
|---|---------------|--------------|-------------|----------|
| Material  | Vol. % Curves | Wt. % Curves | Petroleum   | Polymers |
| Units   |               |              |             |          |
| → Mole Flows  |               |              | PENTANO     |          |
| A   |               |              | 12.8369     |          |
| B   |               |              | 1.19504e-18 |          |
| C   |               |              | 12.824      |          |
| D   |               |              | 8.7105e-13  |          |
| EXT   |               |              | 0.0128369   |          |
| C7H11-01  |               |              | 0           |          |
| → Mole Fractions  |               |              |             |          |
| A   |               |              | 9.30944e-20 |          |
| B   |               |              | 0.999       |          |
| C   |               |              | 6.78552e-14 |          |
| D   |               |              | 0.001       |          |
| EXT   |               |              | 0           |          |

Figura 23 Datos corriente PENTANO.

# Proyecto Final de Diseño y Simulación de Procesos

| Main Flowsheet   |              | PENTANO (MATERIAL) - Results (Default) |           | S10 (MATERIAL) - Re |        |       |
|------------------|--------------|--|-----------|---------------------|--------|-------|
| Material         | Vol.% Curves | Wt. % Curves                           | Petroleum | Polymers            | Solids | Statu |
|                  |              |  | Units     | S10                 |        |       |
| - Mole Flows     |              |  | kmol/hr   | 4                   |        |       |
| A                |              |  | kmol/hr   | 0.0107757           |        |       |
| B                |              |  | kmol/hr   | 0.190972            |        |       |
| C                |              |  | kmol/hr   | 2.34498             |        |       |
| D                |              |  | kmol/hr   | 1.45327             |        |       |
| EXT              |              |  | kmol/hr   | 0                   |        |       |
| C7H11-01         |              |  | kmol/hr   | 0                   |        |       |
| - Mole Fractions |              |  |           |                     |        |       |
| A                |              |  |           | 0.00269392          |        |       |
| B                |              |  |           | 0.047743            |        |       |
| C                |              |  |           | 0.586244            |        |       |
| D                |              |  |           | 0.363319            |        |       |
| EXT              |              |  |           | 0                   |        |       |

Figura 24 Datos corriente S10.

| Main Flowsheet × S11 (MATERIAL) - Results (Default) × + |              |              |             |          |        |  |
|---|--------------|--------------|-------------|----------|--------|--|
| Material  | Vol.% Curves | Wt. % Curves | Petroleum   | Polymers | Solids | <input checked="" type="checkbox"/> Status |
|   |              | Units        | S11 ▾       |          |        |  |
| Average MW  |              |              | 19.2271     |          |        |  |
| — Mole Flows  |              | kmol/hr      | 3.92561     |          |        |  |
| A   |              | kmol/hr      | 3.58655     |          |        |  |
| B   |              | kmol/hr      | 2.30554e-16 |          |        |  |
| C   |              | kmol/hr      | 0.339006    |          |        |  |
| D   |              | kmol/hr      | 5.20581e-05 |          |        |  |
| EXT   |              | kmol/hr      | 0           |          |        |  |
| C7H11-01  |              | kmol/hr      | 0           |          |        |  |
| — Mole Fractions  |              |              |             |          |        |  |
| A   |              |              | 0.913629    |          |        |  |
| B   |              |              | 5.87308e-17 |          |        |  |
| C   |              |              | 0.0863575   |          |        |  |
| D   |              |              | 1.32612e-05 |          |        |  |
| EXT   |              |              | 0           |          |        |  |

Figura 25 Datos corriente S11

| Main Flowsheet × S7 (MATERIAL) × +            |                                |  |               |             |         |          |           |       |   |        |   |  |   |  |   |  |     |  |          |  |       |        |
|---|--------------------------------|--|---------------|-------------|---------|----------|-----------|-------|---|--------|---|--|---|--|---|--|-----|--|----------|--|-------|--------|
| <input checked="" type="radio"/> Mixed        | <input type="radio"/> CI Solid | <input type="radio"/> NC Solid   | Flash Options | EO Options  | Costing | Comments |           |       |   |        |   |  |   |  |   |  |     |  |          |  |       |        |
| Specifications                                |                                |  |               |             |         |          |           |       |   |        |   |  |   |  |   |  |     |  |          |  |       |        |
| Flash Type                                    |                                | Temperature  | Pressure      | Composition |         |          |           |       |   |        |   |  |   |  |   |  |     |  |          |  |       |        |
| State variables                               |                                | Mole-Flow kmol/hr  |               |             |         |          |           |       |   |        |   |  |   |  |   |  |     |  |          |  |       |        |
| Temperature                                   | 320 C                          | <table border="1"> <thead> <tr> <th>Component</th><th>Value</th></tr> </thead> <tbody> <tr><td>A</td><td>4.3498</td></tr> <tr><td>B</td><td></td></tr> <tr><td>C</td><td></td></tr> <tr><td>D</td><td></td></tr> <tr><td>EXT</td><td></td></tr> <tr><td>C7H11-01</td><td></td></tr> <tr><td>Total</td><td>4.3498</td></tr> </tbody> </table> |               |             |         |          | Component | Value | A | 4.3498 | B |  | C |  | D |  | EXT |  | C7H11-01 |  | Total | 4.3498 |
| Component                                     | Value                          |  |               |             |         |          |           |       |   |        |   |  |   |  |   |  |     |  |          |  |       |        |
| A   | 4.3498                         |  |               |             |         |          |           |       |   |        |   |  |   |  |   |  |     |  |          |  |       |        |
| B   |                                |  |               |             |         |          |           |       |   |        |   |  |   |  |   |  |     |  |          |  |       |        |
| C   |                                |  |               |             |         |          |           |       |   |        |   |  |   |  |   |  |     |  |          |  |       |        |
| D   |                                |  |               |             |         |          |           |       |   |        |   |  |   |  |   |  |     |  |          |  |       |        |
| EXT   |                                |  |               |             |         |          |           |       |   |        |   |  |   |  |   |  |     |  |          |  |       |        |
| C7H11-01                                      |                                |  |               |             |         |          |           |       |   |        |   |  |   |  |   |  |     |  |          |  |       |        |
| Total   | 4.3498                         |  |               |             |         |          |           |       |   |        |   |  |   |  |   |  |     |  |          |  |       |        |
| Pressure                                      | 1 atm                          |  |               |             |         |          |           |       |   |        |   |  |   |  |   |  |     |  |          |  |       |        |
| Vapor fraction                                |                                |  |               |             |         |          |           |       |   |        |   |  |   |  |   |  |     |  |          |  |       |        |
| Total flow basis                              | Mole                           |  |               |             |         |          |           |       |   |        |   |  |   |  |   |  |     |  |          |  |       |        |
| Total flow rate                               | kmol/hr                        |  |               |             |         |          |           |       |   |        |   |  |   |  |   |  |     |  |          |  |       |        |
| Solvent                                       |                                |  |               |             |         |          |           |       |   |        |   |  |   |  |   |  |     |  |          |  |       |        |
| Reference Temperature                         |                                |  |               |             |         |          |           |       |   |        |   |  |   |  |   |  |     |  |          |  |       |        |
| Volume flow reference temperature             |                                |  |               |             |         |          |           |       |   |        |   |  |   |  |   |  |     |  |          |  |       |        |
| C   |                                |  |               |             |         |          |           |       |   |        |   |  |   |  |   |  |     |  |          |  |       |        |
| Component concentration reference temperature |                                |  |               |             |         |          |           |       |   |        |   |  |   |  |   |  |     |  |          |  |       |        |

Figura 26 Datos corriente S7.



# Proyecto Final de Diseño y Simulación de Procesos

| ACETONA (MATERIAL) - Results (Default) |               | Main Flowsheet | S5 (MATERIAL) - Result           |
|--|---------------|----------------|----------------------------------|
| Material                               | Vol. % Curves | Wt. % Curves   | Petroleum Polymers Solids Status |
|  |               | Units          | ACETONA                          |
| — Mole Flows                           |               | kmol/hr        | 1.79                             |
| A                                      |               | kmol/hr        | 0.122755                         |
| B                                      |               | kmol/hr        | 0.190972                         |
| C                                      |               | kmol/hr        | 0.023057                         |
| D                                      |               | kmol/hr        | 1.45322                          |
| EXT                                    |               | kmol/hr        | 0                                |
| C7H11-01                               |               | kmol/hr        | 0                                |
| — Mole Fractions                       |               |                |                                  |
| A                                      |               |                | 0.0685784                        |
| B                                      |               |                | 0.106688                         |
| C                                      |               |                | 0.012881                         |
| D                                      |               |                | 0.811852                         |

Figura 27 Datos corriente ACETONA.

| S9 (MATERIAL) - Results (Default) |               | ACETONA (MATERIAL) - Results (Default) | Main f                           |
|-----------------------------------|---------------|--|----------------------------------|
| Material                          | Vol. % Curves | Wt. % Curves                           | Petroleum Polymers Solids Status |
|                                   |               | Units                                  | S9                               |
| — Mole Flows                      |               | kmol/hr                                | 6.5598                           |
| A                                 |               | kmol/hr                                | 4.23782                          |
| B                                 |               | kmol/hr                                | 2.67902e-36                      |
| C                                 |               | kmol/hr                                | 2.32192                          |
| D                                 |               | kmol/hr                                | 5.88028e-05                      |
| EXT                               |               | kmol/hr                                | 0                                |
| C7H11-01                          |               | kmol/hr                                | 0                                |
| — Mole Fractions                  |               |  |                                  |
| A                                 |               |  | 0.646029                         |
| B                                 |               |  | 4.084e-37                        |
| C                                 |               |  | 0.353962                         |
| D                                 |               |  | 8.96412e-06                      |

Figura 28 Datos corriente S9.

| Main Flowsheet   |               | B1 (Extract) - Results | METANOL (MATERIAL) - Results (Default) |
|------------------|---------------|------------------------|--|
| Material         | Vol. % Curves | Wt. % Curves           | Petroleum Polymers Solids Status       |
|                  |               | Units                  | METANOL                                |
| — Mole Flows     |               | kmol/hr                | 2.32                                   |
| A                |               | kmol/hr                | 0.0022612                              |
| B                |               | kmol/hr                | 0                                      |
| C                |               | kmol/hr                | 2.31768                                |
| D                |               | kmol/hr                | 5.88028e-05                            |
| EXT              |               | kmol/hr                | 0                                      |
| C7H11-01         |               | kmol/hr                | 0                                      |
| — Mole Fractions |               |                        |  |
| A                |               |                        | 0.000974653                            |
| B                |               |                        | 0                                      |
| C                |               |                        | 0.999                                  |
| D                |               |                        | 2.5346e-05                             |

Figura 29 Datos corriente METANOL

# Proyecto Final de Diseño y Simulación de Procesos

| Main Flowsheet × B1 (Extract) - Results × S16 (MATERIAL) - Results (Default) × + |              |              |                                  |
|--|--------------|--------------|----------------------------------|
| Material   | Vol.% Curves | Wt. % Curves | Petroleum Polymers Solids Status |
|  |              | Units        | S16                              |
| - Mole Flows   |              | kmol/hr      | 4.2398                           |
| A  |              | kmol/hr      | 4.23556                          |
| B  |              | kmol/hr      | 0                                |
| C  |              | kmol/hr      | 0.00424089                       |
| D  |              | kmol/hr      | 1.27022e-11                      |
| EXT  |              | kmol/hr      | 0                                |
| C7H11-01   |              | kmol/hr      | 0                                |
| - Mole Fractions   |              |              |                                  |
| A  |              |              | 0.999                            |
| B  |              |              | 0                                |
| C  |              |              | 0.00100026                       |
| D  |              |              | 2.99594e-12                      |

Figura 30 Datos corriente S16.

## Resúmenes de equipos

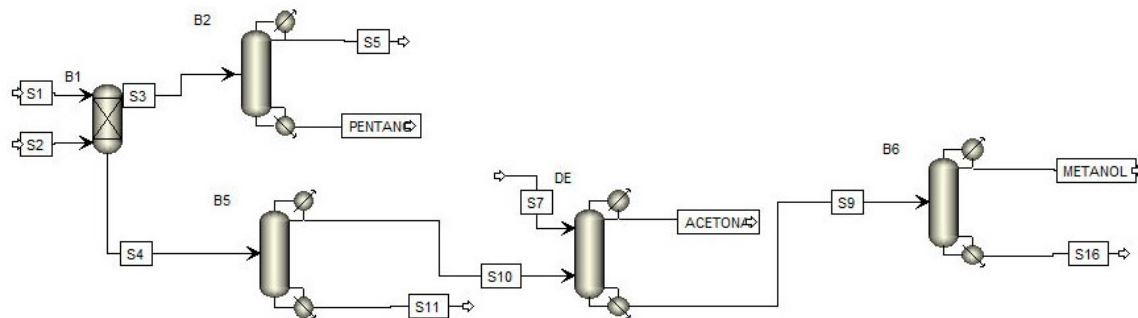


Figura 31 Diagrama del proceso con todos los equipos involucrados.

## Perfiles de torre

| Profiles |                  |                 |                      |                            |                            |
|----------|------------------|-----------------|----------------------|----------------------------|----------------------------|
| Stage    | Temperature<br>C | Pressure<br>bar | Heat duty<br>cal/sec | 1st liquid flow<br>kmol/hr | 2nd liquid flow<br>kmol/hr |
| 1        | 31.8681          | 1.01325         | 0                    | 3.55125                    | 19.0496                    |
| 2        | 31.1177          | 1.01325         | 0                    | 3.60351                    | 19.3008                    |
| 3        | 30.8123          | 1.01325         | 0                    | 3.62119                    | 19.3531                    |
| 4        | 30.7068          | 1.01325         | 0                    | 3.63899                    | 19.3708                    |
| 5        | 30.6319          | 1.01325         | 0                    | 3.67948                    | 19.3886                    |
| 6        | 30.5077          | 1.01325         | 0                    | 3.79419                    | 19.4291                    |
| 7        | 30.1981          | 1.01325         | 0                    | 4.19331                    | 19.5438                    |
| 8        | 29.259           | 1.01325         | 0                    | 7.92561                    | 19.9429                    |

figura 32 Columna extracción B1.



# Proyecto Final de Diseño y Simulación de Procesos

| Stage | Temperature<br>C | Pressure<br>bar | Heat duty<br>cal/sec | Liquid from (Mole)<br>kmol/hr | Vapor from (Mole)<br>kmol/hr | Liquid feed (Mole)<br>kmol/hr | Vapor feed (Mole)<br>kmol/hr | Mixed feed (Mole)<br>kmol/hr | Liquid product (Mole)<br>kmol/hr | Vapor product (Mole)<br>kmol/hr | Liquid enthalpy<br>cal/mol | Vapor enthalpy<br>cal/mol | Liquid flow (Mole)<br>kmol/hr | Vapor flow (Mole)<br>kmol/hr |
|-------|------------------|-----------------|----------------------|-------------------------------|------------------------------|-------------------------------|------------------------------|------------------------------|----------------------------------|---------------------------------|----------------------------|---------------------------|-------------------------------|------------------------------|
| 1     | 31.9466          | 1.01325         | -31299.1             | 18.6381                       | 0                            | 0                             | 0                            | 0                            | 6.21271                          | 0                               | -44768.1                   | -39230.2                  | 12.4254                       | 0                            |
| 2     | 32.5141          | 1.01325         | 0                    | 12.508                        | 18.6381                      | 0                             | 0                            | 0                            | 0                                | 0                               | -44190.9                   | -38722.6                  | 12.508                        | 18.6381                      |
| 3     | 32.7144          | 1.01325         | 0                    | 12.4935                       | 18.7207                      | 0                             | 0                            | 0                            | 0                                | 0                               | -43573.8                   | -38363.6                  | 12.4935                       | 18.7207                      |
| 4     | 32.9652          | 1.01325         | 0                    | 12.4486                       | 18.7062                      | 0                             | 0                            | 0                            | 0                                | 0                               | -42959.4                   | -37946.3                  | 12.4486                       | 18.7062                      |
| 5     | 33.282           | 1.01325         | 0                    | 12.4003                       | 18.6613                      | 0                             | 0                            | 0                            | 0                                | 0                               | -42483.1                   | -37522.5                  | 12.4003                       | 18.6613                      |
| 6     | 33.5022          | 1.01325         | 0                    | 12.3664                       | 18.613                       | 0                             | 0                            | 0                            | 0                                | 0                               | -42183.6                   | -37191.4                  | 12.3664                       | 18.613                       |
| 7     | 33.7498          | 1.01325         | 0                    | 12.3471                       | 18.5791                      | 0                             | 0                            | 0                            | 0                                | 0                               | -42019.2                   | -36982.8                  | 12.3471                       | 18.5791                      |
| 8     | 33.8559          | 1.01325         | 0                    | 12.3374                       | 18.5599                      | 0                             | 0                            | 0                            | 0                                | 0                               | -41935.4                   | -36968.2                  | 12.3374                       | 18.5599                      |
| 9     | 33.9106          | 1.01325         | 0                    | 12.3326                       | 18.5501                      | 0                             | 0                            | 0                            | 0                                | 0                               | -41894.5                   | -36809.9                  | 12.3326                       | 18.5501                      |
| 10    | 33.9375          | 1.01325         | 0                    | 31.5727                       | 18.5453                      | 0                             | 0                            | 19.0496                      | 0                                | 0                               | -41874.9                   | -36781.4                  | 31.5727                       | 18.5453                      |
| 11    | 34.2486          | 1.01325         | 0                    | 31.5329                       | 18.7359                      | 0                             | 0                            | 0                            | 0                                | 0                               | -41698.5                   | -36473.1                  | 31.5329                       | 18.7359                      |
| 12    | 34.5552          | 1.01325         | 0                    | 31.481                        | 18.696                       | 0                             | 0                            | 0                            | 0                                | 0                               | -41520.2                   | -36164.2                  | 31.481                        | 18.696                       |
| 13    | 34.8764          | 1.01325         | 0                    | 31.4344                       | 18.6441                      | 0                             | 0                            | 0                            | 0                                | 0                               | -41355.4                   | -35847.8                  | 31.4344                       | 18.6441                      |
| 14    | 35.1789          | 1.01325         | 0                    | 31.3971                       | 18.5975                      | 0                             | 0                            | 0                            | 0                                | 0                               | -41217.1                   | -35555                    | 31.3971                       | 18.5975                      |
| 15    | 35.4358          | 1.01325         | 0                    | 31.37                         | 18.5602                      | 0                             | 0                            | 0                            | 0                                | 0                               | -41109.9                   | -35309.3                  | 31.37                         | 18.5602                      |
| 16    | 35.6361          | 1.01325         | 0                    | 31.3514                       | 18.5331                      | 0                             | 0                            | 0                            | 0                                | 0                               | -41031.8                   | -35119.2                  | 31.3514                       | 18.5331                      |
| 17    | 35.7824          | 1.01325         | 0                    | 31.3391                       | 18.5146                      | 0                             | 0                            | 0                            | 0                                | 0                               | -40977.4                   | -34981                    | 31.3391                       | 18.5146                      |
| 18    | 35.8845          | 1.01325         | 0                    | 31.3312                       | 18.5023                      | 0                             | 0                            | 0                            | 0                                | 0                               | -40940.7                   | -34884.8                  | 31.3312                       | 18.5023                      |
| 19    | 35.9534          | 1.01325         | 0                    | 31.326                        | 18.4943                      | 0                             | 0                            | 0                            | 0                                | 0                               | -40916.4                   | -34820                    | 31.326                        | 18.4943                      |
| 20    | 35.9989          | 1.01325         | 31586.8              | 12.8369                       | 18.4891                      | 0                             | 0                            | 0                            | 12.8369                          | 0                               | -40900.6                   | -34777.2                  | 12.8369                       | 18.4891                      |

figura 33 Columna convencional B2.

| Stage | Temperature<br>C | Pressure<br>bar | Heat duty<br>cal/sec | Liquid from (Mole)<br>kmol/hr | Vapor from (Mole)<br>kmol/hr | Liquid feed (Mole)<br>kmol/hr | Vapor feed (Mole)<br>kmol/hr | Mixed feed (Mole)<br>kmol/hr | Liquid product (Mole)<br>kmol/hr | Vapor product (Mole)<br>kmol/hr | Liquid enthalpy<br>cal/mol | Vapor enthalpy<br>cal/mol | Liquid flow (Mole)<br>kmol/hr | Vapor flow (Mole)<br>kmol/hr |
|-------|------------------|-----------------|----------------------|-------------------------------|------------------------------|-------------------------------|------------------------------|------------------------------|----------------------------------|---------------------------------|----------------------------|---------------------------|-------------------------------|------------------------------|
| 1     | 44.5422          | 1.01325         | -53866.3             | 24                            | 0                            | 0                             | 0                            | 0                            | 4                                | 0                               | -56285.1                   | -43245.7                  | 20                            | 0                            |
| 2     | 57.5846          | 1.01325         | 0                    | 19.808                        | 24                           | 0                             | 0                            | 0                            | 0                                | 0                               | -56579.8                   | -48205                    | 19.808                        | 24                           |
| 3     | 60.4521          | 1.01325         | 0                    | 19.4545                       | 23.808                       | 0                             | 0                            | 0                            | 0                                | 0                               | -56518.7                   | -48384.6                  | 19.4545                       | 23.808                       |
| 4     | 62.16            | 1.01325         | 0                    | 19.1643                       | 23.4545                      | 0                             | 0                            | 0                            | 0                                | 0                               | -56676.2                   | -48210.7                  | 19.1643                       | 23.4545                      |
| 5     | 63.6874          | 1.01325         | 0                    | 18.8303                       | 23.1643                      | 0                             | 0                            | 0                            | 0                                | 0                               | -57214.3                   | -48236.6                  | 18.8303                       | 23.1643                      |
| 6     | 65.8261          | 1.01325         | 0                    | 27.323                        | 22.8303                      | 0                             | 0                            | 7.92561                      | 0                                | 0                               | -58477.6                   | -48557.2                  | 27.323                        | 22.8303                      |
| 7     | 67.3812          | 1.01325         | 0                    | 27.1788                       | 23.3974                      | 0                             | 0                            | 0                            | 0                                | 0                               | -58612.3                   | -48550.5                  | 27.1788                       | 23.3974                      |
| 8     | 68.5983          | 1.01325         | 0                    | 26.8882                       | 23.2532                      | 0                             | 0                            | 0                            | 0                                | 0                               | -59107                     | -48646.8                  | 26.8882                       | 23.2532                      |
| 9     | 70.9168          | 1.01325         | 0                    | 26.1933                       | 22.9626                      | 0                             | 0                            | 0                            | 0                                | 0                               | -60474.5                   | -49099.1                  | 26.1933                       | 22.9626                      |
| 10    | 76.9282          | 1.01325         | 0                    | 24.9904                       | 22.2677                      | 0                             | 0                            | 0                            | 0                                | 0                               | -63470.7                   | -50395.7                  | 24.9904                       | 22.2677                      |
| 11    | 88.918           | 1.01325         | 56181                | 3.92561                       | 21.0648                      | 0                             | 0                            | 0                            | 3.92561                          | 0                               | -66129.2                   | -53374.1                  | 3.92561                       | 21.0648                      |

figura 34 Columna convencional B5.

# Proyecto Final de Diseño y Simulación de Procesos

| Stage | Temperature<br>C | Pressure<br>bar | Heat duty<br>cal/sec | Liquid from (Mole)<br>kmol/hr | Vapor from (Mole)<br>kmol/hr | Liquid feed (Mole)<br>kmol/hr | Vapor feed (Mole)<br>kmol/hr | Mixed feed (Mole)<br>kmol/hr | Liquid product (Mole)<br>kmol/hr | Vapor product (Mole)<br>kmol/hr | Liquid enthalpy<br>cal/mol | Vapor enthalpy<br>cal/mol | Liquid flow (Mole)<br>kmol/hr | Vapor flow (Mole)<br>kmol/hr |
|-------|------------------|-----------------|----------------------|-------------------------------|------------------------------|-------------------------------|------------------------------|------------------------------|----------------------------------|---------------------------------|----------------------------|---------------------------|-------------------------------|------------------------------|
| 1     | 41.4811          | 1.01325         | -75135               | 35.8                          | 0                            | 0                             | 0                            | 0                            | 1.79                             | 0                               | -57146.3                   | -43330.4                  | 34.01                         | 0                            |
| 2     | 53.8412          | 1.01325         | 0                    | 32.9627                       | 35.8                         | 0                             | 0                            | 0                            | 0                                | 0                               | -58213.6                   | -49558.0                  | 32.9627                       | 35.8                         |
| 3     | 56.8498          | 1.01325         | 0                    | 36.6548                       | 34.7527                      | 0                             | 0                            | 4.3498                       | 0                                | 0                               | -60534.1                   | -51324.9                  | 36.6548                       | 34.7527                      |
| 4     | 57.0903          | 1.01325         | 0                    | 36.6782                       | 34.095                       | 0                             | 0                            | 0                            | 0                                | 0                               | -60530.6                   | -51488.3                  | 36.6782                       | 34.095                       |
| 5     | 57.9307          | 1.01325         | 0                    | 36.6883                       | 34.1184                      | 0                             | 0                            | 0                            | 0                                | 0                               | -60517.1                   | -51490.7                  | 36.6883                       | 34.1184                      |
| 6     | 57.0964          | 1.01325         | 0                    | 36.6984                       | 34.1285                      | 0                             | 0                            | 0                            | 0                                | 0                               | -60581.2                   | -51478.9                  | 36.6984                       | 34.1285                      |
| 7     | 57.0909          | 1.01325         | 0                    | 36.7095                       | 34.1386                      | 0                             | 0                            | 0                            | 0                                | 0                               | -60483.2                   | -51464.4                  | 36.7095                       | 34.1386                      |
| 8     | 57.0829          | 1.01325         | 0                    | 36.7221                       | 34.1487                      | 0                             | 0                            | 0                            | 0                                | 0                               | -60462.8                   | -51440                    | 36.7221                       | 34.1487                      |
| 9     | 57.0734          | 1.01325         | 0                    | 36.7357                       | 34.1523                      | 0                             | 0                            | 0                            | 0                                | 0                               | -60439.7                   | -51429.3                  | 36.7357                       | 34.1523                      |
| 10    | 57.063           | 1.01325         | 0                    | 36.7509                       | 34.1759                      | 0                             | 0                            | 0                            | 0                                | 0                               | -60413.3                   | -51408.1                  | 36.7509                       | 34.1759                      |
| 11    | 57.0516          | 1.01325         | 0                    | 36.7678                       | 34.1911                      | 0                             | 0                            | 0                            | 0                                | 0                               | -60383.2                   | -51383.8                  | 36.7678                       | 34.1911                      |
| 12    | 57.039           | 1.01325         | 0                    | 36.7868                       | 34.206                       | 0                             | 0                            | 0                            | 0                                | 0                               | -60348.4                   | -51355.9                  | 36.7868                       | 34.206                       |
| 13    | 57.0253          | 1.01325         | 0                    | 36.8079                       | 34.227                       | 0                             | 0                            | 0                            | 0                                | 0                               | -60306.2                   | -51323.5                  | 36.8079                       | 34.227                       |
| 14    | 57.0103          | 1.01325         | 0                    | 36.8313                       | 34.2481                      | 0                             | 0                            | 0                            | 0                                | 0                               | -60261.3                   | -51285.9                  | 36.8313                       | 34.2481                      |
| 15    | 56.9943          | 1.01325         | 0                    | 36.8572                       | 34.2715                      | 0                             | 0                            | 0                            | 0                                | 0                               | -60206.2                   | -51241.6                  | 36.8572                       | 34.2715                      |
| 16    | 56.9778          | 1.01325         | 0                    | 36.8851                       | 34.2974                      | 0                             | 0                            | 0                            | 0                                | 0                               | -60140.7                   | -51188.2                  | 36.8851                       | 34.2974                      |
| 17    | 56.9615          | 1.01325         | 0                    | 36.9155                       | 34.3253                      | 0                             | 0                            | 0                            | 0                                | 0                               | -60062                     | -51126.2                  | 36.9155                       | 34.3253                      |
| 18    | 56.9446          | 1.01325         | 0                    | 36.9485                       | 34.3557                      | 0                             | 0                            | 0                            | 0                                | 0                               | -59985.4                   | -51048.6                  | 36.9485                       | 34.3557                      |
| 19    | 56.9275          | 1.01325         | 0                    | 36.9862                       | 34.3867                      | 0                             | 0                            | 0                            | 0                                | 0                               | -59901.5                   | -50964.4                  | 36.9862                       | 34.3867                      |
| 20    | 56.914           | 1.01325         | 0                    | 37.0312                       | 34.4294                      | 0                             | 0                            | 0                            | 0                                | 0                               | -59807.6                   | -50832                    | 37.0312                       | 34.4294                      |
| 21    | 56.8404          | 1.01325         | 0                    | 41.2215                       | 34.5034                      | 0                             | 0                            | 4                            | 0                                | 0                               | -58170.3                   | -50664.5                  | 41.2215                       | 34.5034                      |
| 22    | 56.977           | 1.01325         | 0                    | 41.2326                       | 34.6617                      | 0                             | 0                            | 0                            | 0                                | 0                               | -58179.7                   | -50752                    | 41.2326                       | 34.6617                      |
| 23    | 56.968           | 1.01325         | 0                    | 41.2333                       | 34.6728                      | 0                             | 0                            | 0                            | 0                                | 0                               | -58176.3                   | -50756.4                  | 41.2333                       | 34.6728                      |
| 24    | 56.9913          | 1.01325         | 0                    | 41.2331                       | 34.6735                      | 0                             | 0                            | 0                            | 0                                | 0                               | -58170.6                   | -50752.5                  | 41.2331                       | 34.6735                      |
| 25    | 56.9937          | 1.01325         | 0                    | 41.2323                       | 34.6733                      | 0                             | 0                            | 0                            | 0                                | 0                               | -58162.6                   | -50745.9                  | 41.2323                       | 34.6733                      |
| 26    | 56.9973          | 1.01325         | 0                    | 41.2367                       | 34.6725                      | 0                             | 0                            | 0                            | 0                                | 0                               | -58150.3                   | -50735.9                  | 41.2367                       | 34.6725                      |
| 27    | 57.0031          | 1.01325         | 0                    | 41.2279                       | 34.6709                      | 0                             | 0                            | 0                            | 0                                | 0                               | -58132.2                   | -50721                    | 41.2279                       | 34.6709                      |
| 28    | 57.0128          | 1.01325         | 0                    | 41.2236                       | 34.6681                      | 0                             | 0                            | 0                            | 0                                | 0                               | -58105.3                   | -50698.0                  | 41.2236                       | 34.6681                      |
| 29    | 57.0299          | 1.01325         | 0                    | 41.2112                       | 34.6628                      | 0                             | 0                            | 0                            | 0                                | 0                               | -58025.6                   | -50605.6                  | 41.2112                       | 34.6628                      |
| 30    | 57.0618          | 1.01325         | 0                    | 41.1885                       | 34.6514                      | 0                             | 0                            | 0                            | 0                                | 0                               | -58087.4                   | -50615.7                  | 41.1885                       | 34.6514                      |
| 31    | 57.125           | 1.01325         | 0                    | 41.1408                       | 34.6287                      | 0                             | 0                            | 0                            | 0                                | 0                               | -58123.4                   | -50541                    | 41.1408                       | 34.6287                      |
| 32    | 57.2563          | 1.01325         | 0                    | 41.0293                       | 34.581                       | 0                             | 0                            | 0                            | 0                                | 0                               | -58005                     | -50428.7                  | 41.0293                       | 34.581                       |
| 33    | 57.5531          | 1.01325         | 0                    | 40.7927                       | 34.4685                      | 0                             | 0                            | 0                            | 0                                | 0                               | -58044.6                   | -50358.2                  | 40.7927                       | 34.4685                      |
| 34    | 58.2549          | 1.01325         | 0                    | 40.3427                       | 34.3329                      | 0                             | 0                            | 0                            | 0                                | 0                               | -58614.4                   | -50008.2                  | 40.3427                       | 34.3329                      |
| 35    | 59.5814          | 1.01325         | 0                    | 39.6962                       | 33.7829                      | 0                             | 0                            | 0                            | 0                                | 0                               | -58132.5                   | -49650                    | 39.6962                       | 33.7829                      |
| 36    | 61.7803          | 1.01325         | 0                    | 39.0732                       | 33.1364                      | 0                             | 0                            | 0                            | 0                                | 0                               | -58281.3                   | -49198.1                  | 39.0732                       | 33.1364                      |
| 37    | 64.057           | 1.01325         | 0                    | 38.6872                       | 32.5124                      | 0                             | 0                            | 0                            | 0                                | 0                               | -58050.6                   | -48707.6                  | 38.6872                       | 32.5124                      |
| 38    | 65.6599          | 1.01325         | 0                    | 38.5189                       | 32.1274                      | 0                             | 0                            | 0                            | 0                                | 0                               | -57967.8                   | -48472.9                  | 38.5189                       | 32.1274                      |
| 39    | 66.5952          | 1.01325         | 0                    | 38.4351                       | 31.9511                      | 0                             | 0                            | 0                            | 0                                | 0                               | -57934.2                   | -48318.9                  | 38.4351                       | 31.9511                      |
| 40    | 66.9992          | 1.01325         | 0                    | 38.3916                       | 31.8753                      | 0                             | 0                            | 0                            | 0                                | 0                               | -57937.2                   | -48256.6                  | 38.3916                       | 31.8753                      |
| 41    | 67.1501          | 1.01325         | 0                    | 38.3349                       | 31.8318                      | 0                             | 0                            | 0                            | 0                                | 0                               | -57989.2                   | -48246.9                  | 38.3349                       | 31.8318                      |
| 42    | 67.4582          | 1.01325         | 0                    | 38.1984                       | 31.7751                      | 0                             | 0                            | 0                            | 0                                | 0                               | -58158.1                   | -48292.8                  | 38.1984                       | 31.7751                      |
| 43    | 68.1968          | 1.01325         | 0                    | 37.8214                       | 31.6386                      | 0                             | 0                            | 0                            | 0                                | 0                               | -58653.1                   | -48454.5                  | 37.8214                       | 31.6386                      |
| 44    | 70.3298          | 1.01325         | 0                    | 36.019                        | 31.2616                      | 0                             | 0                            | 0                            | 0                                | 0                               | -60051.4                   | -48936.3                  | 36.019                        | 31.2616                      |
| 45    | 76.6808          | 1.01325         | 75858.2              | 6.5598                        | 30.2582                      | 0                             | 0                            | 0                            | 6.5598                           | 0                               | -63329                     | -50315.9                  | 6.5598                        | 30.2582                      |

figura 35 Columna destilación extractiva DE.

| Stage | Temperature<br>C | Pressure<br>bar | Heat duty<br>cal/sec | Liquid from (Mole)<br>kmol/hr | Vapor from (Mole)<br>kmol/hr | Liquid feed (Mole)<br>kmol/hr | Vapor feed (Mole)<br>kmol/hr | Mixed feed (Mole)<br>kmol/hr | Liquid product (Mole)<br>kmol/hr | Vapor product (Mole)<br>kmol/hr | Liquid enthalpy<br>cal/mol | Vapor enthalpy<br>cal/mol | Liquid flow (Mole)<br>kmol/hr |
|-------|------------------|-----------------|----------------------|-------------------------------|------------------------------|-------------------------------|------------------------------|------------------------------|----------------------------------|---------------------------------|----------------------------|---------------------------|-------------------------------|
| 1     | 64.5477          | 1.01325         | -119842              | 51.1973                       | 0                            | 0                             | 0                            | 0                            | 2.32                             | 0                               | -56001.4                   | -47569.4                  | 48.8773                       |
| 2     | 64.5703          | 1.01325         | 0                    | 48.8603                       | 51.1973                      | 0                             | 0                            | 0                            | 0                                | 0                               | -56017.7                   | -47574.6                  | 48.8603                       |
| 3     | 64.622           | 1.01325         | 0                    | 48.8204                       | 51.1803                      | 0                             | 0                            | 0                            | 0                                | 0                               | -56056.5                   | -47587.3                  | 48.8204                       |
| 4     | 64.7441          | 1.01325         | 0                    | 48.7261                       | 51.1404                      | 0                             | 0                            | 0                            | 0                                | 0                               | -56148.4                   | -47617.7                  | 48.7261                       |
| 5     | 65.0349          | 1.01325         | 0                    | 48.5037                       | 51.0461                      | 0                             | 0                            | 0                            | 0                                | 0                               | -56366.7                   | -47689.9                  | 48.5037                       |
| 6     | 65.7318          | 1.01325         | 0                    | 47.9837                       | 50.8237                      | 0                             | 0                            | 0                            | 0                                | 0                               | -56884                     | -47861.2                  | 47.9837                       |
| 7     | 67.4245          | 1.01325         | 0                    | 46.8016                       | 50.3037                      | 0                             | 0                            | 0                            | 0                                | 0                               | -58103.2                   | -48266.7                  | 46.8016                       |
| 8     | 71.6189          | 1.01325         | 0                    | 51.268                        | 49.1216                      | 0                             | 0                            | 6.5598                       | 0                                | 0                               | -60839.2                   | -49221.4                  | 51.268                        |
| 9     | 79.9943          | 1.01325         | 0                    | 48.6993                       | 47.0282                      | 0                             | 0                            | 0                            | 0                                | 0                               | -64493.2                   | -51080.8                  | 48.6993                       |
| 10    | 92.6799          | 1.01325         | 0                    | 48.4367                       | 44.4595                      | 0                             | 0                            | 0                            | 0                                | 0                               | -66474.6                   | -54518.4                  | 48.4367                       |
| 11    | 98.6847          | 1.01325         | 0                    | 48.7515                       | 44.1969                      | 0                             | 0                            | 0                            | 0                                | 0                               | -66818.8                   | -56630.1                  | 48.7515                       |
| 12    | 99.8288          | 1.01325         | 120401               | 4.2398                        | 44.5117                      | 0                             | 0                            | 0                            | 4.2398                           | 0                               | -66864.2                   | -57076.7                  | 4.2398                        |

figura 36 Columna convencional B6.

# Proyecto Final de Diseño y Simulación de Procesos

Column description:  Input Complete

Buttons: Add New, Auto Section, Duplicate, Import Template, Export Template, View Internals Summary

| Name | Start Stage | End Stage | Mode               | Internal Type | Tray/Packing Type | Tray Details     |                      | Packing Details |          |           | Tray Spacing/Section Packed Height | Diameter       | Det. |
|------|-------------|-----------|--------------------|---------------|-------------------|------------------|----------------------|-----------------|----------|-----------|------------------------------------|----------------|------|
|      |             |           |                    |               |                   | Number of Passes | Number of Downcomers | Vendor          | Material | Dimension |                                    |                |      |
| CS-1 | 2           | 19        | Interactive sizing | Trayed        | SIEVE             | 1                |                      |                 |          |           | 0.6096 meter                       | 0.364415 meter | View |

☒ Don't update pressure drop

Figura 37. Columna convencional B2 (separación del n-pentano)

Column description:  Input Complete

Buttons: Add New, Auto Section, Duplicate, Import Template, Export Template, View Internals Summary

| Name | Start Stage | End Stage | Mode               | Internal Type | Tray/Packing Type | Tray Details     |                      | Packing Details |          |           | Tray Spacing/Section Packed Height | Diameter       | Det. |
|------|-------------|-----------|--------------------|---------------|-------------------|------------------|----------------------|-----------------|----------|-----------|------------------------------------|----------------|------|
|      |             |           |                    |               |                   | Number of Passes | Number of Downcomers | Vendor          | Material | Dimension |                                    |                |      |
| CS-1 | 2           | 10        | Interactive sizing | Trayed        | SIEVE             | 1                |                      |                 |          |           | 0.6096 meter                       | 0.344363 meter | View |

☒ Don't update pressure drop

Figura 38. Columna convencional B5. (Separación)

Column description:  Input Complete

Buttons: Add New, Auto Section, Duplicate, Import Template, Export Template, View Internals Summary

| Name | Start Stage | End Stage | Mode               | Internal Type | Tray/Packing Type | Tray Details     |                      | Packing Details |          |           | Tray Spacing/Section Packed Height | Diameter       | Det. |
|------|-------------|-----------|--------------------|---------------|-------------------|------------------|----------------------|-----------------|----------|-----------|------------------------------------|----------------|------|
|      |             |           |                    |               |                   | Number of Passes | Number of Downcomers | Vendor          | Material | Dimension |                                    |                |      |
| CS-1 | 2           | 44        | Interactive sizing | Trayed        | SIEVE             | 1                |                      |                 |          |           | 0.6096 meter                       | 0.441934 meter | View |

☐ Don't update pressure drop  
☐ Update pressure drop from top stage

Figura 39. Columna destilación extractiva (DE) (acetona-metanol y agua)

Column description:  Input Complete

Buttons: Add New, Auto Section, Duplicate, Import Template, Export Template, View Internals Summary

| Name | Start Stage | End Stage | Mode               | Internal Type | Tray/Packing Type | Tray Details     |                      | Packing Details |          |           | Tray Spacing/Section Packed Height | Diameter       | Det. |
|------|-------------|-----------|--------------------|---------------|-------------------|------------------|----------------------|-----------------|----------|-----------|------------------------------------|----------------|------|
|      |             |           |                    |               |                   | Number of Passes | Number of Downcomers | Vendor          | Material | Dimension |                                    |                |      |
| CS-1 | 2           | 11        | Interactive sizing | Trayed        | SIEVE             | 1                |                      |                 |          |           | 0.6096 meter                       | 0.478400 meter | View |

☒ Don't update pressure drop

Figura 40. Columna convencional B6 (metanol-agua)

| Heat Exchanger | Status                              | Type   | Index for Changes | Base Duty [cal/sec] | Hot Inlet Temperature [C] | Hot Outlet Temperature [C] | Cold Inlet Temperature [C] | Cold Outlet Temperature [C] | Recoverable Duty [cal/sec] | Base Area [sqm] | Overall Heat Trans. Coeff |
|----------------|-------------------------------------|--------|-------------------|---------------------|---------------------------|----------------------------|----------------------------|-----------------------------|----------------------------|-----------------|---------------------------|
| Reboiler@B2    | <input checked="" type="checkbox"/> | Heater |                   | 3.159E+04           | 125.0                     | 124.0                      | 36.0                       | 36.0                        | 3.159E+04                  | 0.3761          | Default                   |
| Condenser@B2   | <input checked="" type="checkbox"/> | Cooler |                   | 3.13E+04            | 32.5                      | 31.9                       | 20.0                       | 25.0                        | 0.0                        | 7.128           | Default                   |
| Condenser@B6   | <input checked="" type="checkbox"/> | Cooler |                   | 1.133E+05           | 64.6                      | 64.5                       | 30.0                       | 35.0                        | 0.0                        | 134.6           | Default                   |
| Condenser@DE   | <input checked="" type="checkbox"/> | Cooler |                   | 7.513E+04           | 53.8                      | 41.5                       | 20.0                       | 25.0                        | 0.0                        | 8.902           | Default                   |
| Condenser@B5   | <input checked="" type="checkbox"/> | Cooler |                   | 5.387E+04           | 57.6                      | 44.5                       | 30.0                       | 35.0                        | 0.0                        | 102.1           | Default                   |
| Reboiler@B5    | <input checked="" type="checkbox"/> | Heater |                   | 5.610E+04           | 125.0                     | 124.0                      | 76.9                       | 88.9                        | 0.0                        | 2.182           | Default                   |
| Reboiler@DE    | <input checked="" type="checkbox"/> | Heater |                   | 7.568E+04           | 125.0                     | 124.0                      | 70.3                       | 76.6                        | 0.0                        | 2.58            | Default                   |
| Reboiler@B6    | <input checked="" type="checkbox"/> | Heater |                   | 1.139E+05           | 125.0                     | 124.0                      | 98.7                       | 99.8                        | 0.0                        | 3.898           | Default                   |

Figura 41. Servicios totales

## Proyecto Final de Diseño y Simulación de Procesos

|      | Hot Inlet Temperature [C] | Hot Outlet Temperature [C] | Cold Inlet Temperature [C] | Cold Outlet Temperature [C] | Recoverable Duty [cal/sec] | Base Area [sqm] | Overall Heat Trans. Coeff |                     | Hot Side Fluid              | V <sub>h</sub> | Cold Side Fluid           | V <sub>c</sub> |
|------|---------------------------|----------------------------|----------------------------|-----------------------------|----------------------------|-----------------|---------------------------|---------------------|-----------------------------|----------------|---------------------------|----------------|
|      |                           |                            |                            |                             |                            |                 | Method                    | Value [cal/sec-sqm] |                             |                |                           |                |
| E-04 | 125.0                     | 124.0                      | 36.0                       | 36.0                        | 3.159E+04                  | 0.3761          | Default                   | 0.1                 | LP Steam                    |                | To Reboiler@B2_TO_PENTANO |                |
| E-04 | 32.5                      | 31.9                       | 20.0                       | 25.0                        | 0.0                        | 7.128           | Default                   | 0.0                 | To Condenser@B2_TO_S5       |                | Cooling Water             |                |
| F-05 | 64.6                      | 64.5                       | 30.0                       | 35.0                        | 0.0                        | 134.0           | Default                   | 0.0                 | To Condenser@B6_TO_METHANOL |                | Air                       |                |
| F-04 | 53.8                      | 41.5                       | 20.0                       | 25.0                        | 0.0                        | 8.900           | Default                   | 0.0                 | To Condenser@DE_TO_ACETONA  |                | Cooling Water             |                |
| E-04 | 57.6                      | 44.5                       | 30.0                       | 35.0                        | 0.0                        | 102.1           | Default                   | 0.0                 | To Condenser@B5_TO_S10      |                | Air                       |                |
| E-04 | 125.0                     | 124.0                      | 76.9                       | 88.9                        | 0.0                        | 2.102           | Default                   | 0.1                 | LP Steam                    |                | To Reboiler@B5_TO_S11     |                |
| E-04 | 125.0                     | 124.0                      | 70.3                       | 76.6                        | 0.0                        | 2.58            | Default                   | 0.1                 | LP Steam                    |                | To Reboiler@DE_TO_S9      |                |
| F-05 | 125.0                     | 124.0                      | 98.7                       | 99.8                        | 0.0                        | 3.898           | Default                   | 0.1                 | LP Steam                    |                | To Reboiler@B6_TO_S16     |                |

Figura 42. Servicios totales

## Conclusiones

Después de haber realizado una exhaustiva investigación acerca de las diferentes propiedades que contenía la mezcla problema (formación de azeótropos, puntos de ebullición, agentes extractantes), encontramos que la forma más adecuada para realizar la primera separación fue la extracción líquido-líquido. Esto ayudó significativamente a lograr las demás separaciones, ya que mediante columnas de destilación ordinarias y una sola columna extractiva, se logró separar individualmente cada uno de los componentes a las purezas requeridas o cercanas a las mismas.

Por lo tanto, la identificación de las diferentes características de la mezcla pudo ser logrado gracias a la aplicación de todos los conocimientos que fueron adquiridos a lo largo del curso dándonos como resultado el tener las condiciones óptimas al inicio para construir una secuencia de separación funcional.

## Referencias

- Valoyes Escobar, R. y Nieto Cortés, L. A. (2018) *Criterios de selección para un agente material de separación en un proceso de deshidratación de etanol por destilación extractiva*. Semilleros: Formación Investigativa. 4(1), 39-48 Retrieved from <http://hdl.handle.net/20.500.11839/7734>
- Gil, I. D., Uyazán, A. M., Aguilar, J. L., Rodríguez, G., & Caicedo, L. A. (2008). *Separation of ethanol and water by extractive distillation with salt and solvent as entrainer: process simulation*. *Brazilian Journal of Chemical Engineering*, 25(1), 207-215. doi:10.1590/s0104-66322008000100021
- Castier, M., & Sandler, S. I. (1997). *Critical points with the Wong-Sandler mixing rule—I. Calculations with the van der Waals equation of state*. *Chemical Engineering Science*, 52(19), 3393-3399. doi:10.1016/s0009-2509(97)00142-5.
- Yongjin C, Jianping W, Gang X and Lirong Y. Separation of -cyano-3-phenoxybenzyl alcohol from -cyano-3-phenoxybenzyl acetate using solvent extraction. *Separation and Purification Technology*. 2006;51:424-429.
- Guo-guang N, Yu-chun X, Jian-feng L and Hui-zhou L. Isolation and purification of glycyrrhizic acid with solvent extraction. *Separation and Purification Technology*. 2005;44:189-196.